

Bilan du projet FLASHMOD

Etude pluridisciplinaire des mécanismes de la radiothérapie Flash à Arronax

Sophie Chiavassa

FLASHMOD – financement PCSI (36 + 6 mois – fin juin 2024)

aviesan
alliance nationale
pour les sciences de la vie et de la santé

ITMO Cancer

Inserm
La science pour la santé
From science to health

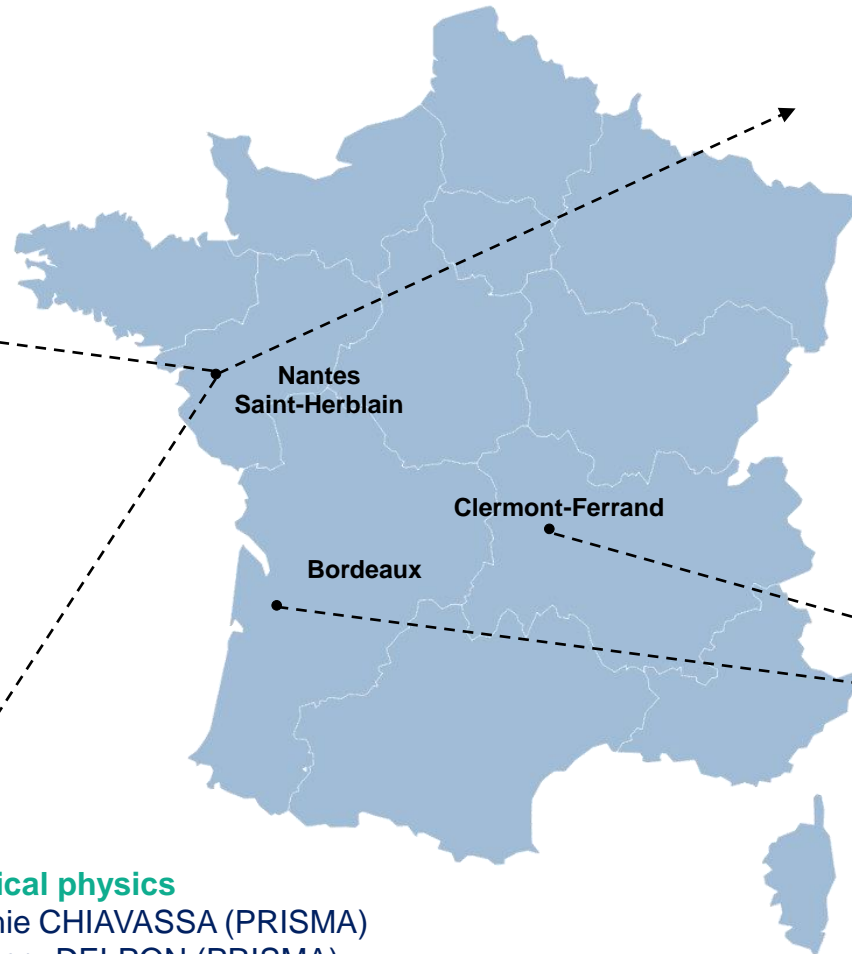


PRISMA team (Physics of Radiation Interactions with Matter and Applications)

Manon EVIN
Arnaud GUERTIN
Vincent METIVIER
Quentin MOUCHARD
Noël SERVAGENT
Ferid HADDAD
Charbel KOUMEIR
Freddy POIRIER



Radiochemistry team
Guillaume BLAIN
Émeline CRAFF
Sarra TERFAS
Johan VANDENBORRE
Vincent FIEGEL



Collaboration with:

- Université de Namur
- Université de Louvain
- Société IBA



Medical physics

Sophie CHIAVASSA (PRISMA)
Grégory DELPON (PRISMA)
Daphnée VILLOING
Arthur BONGRAND (NEXT)

Radiobiology

Mathieu CHOCRY
Vincent POTIRON
Gaëlle SAADE
Stéphane SUPIOT

Simulation GATE/Geant4-DNA
Lydia MAIGNE
Giovanna FOIS



Hoang Tran

Main goals of the FLASHMOD project

Avancer dans la compréhension des mécanismes du Flash

Relever les défis techniques liés au Flash

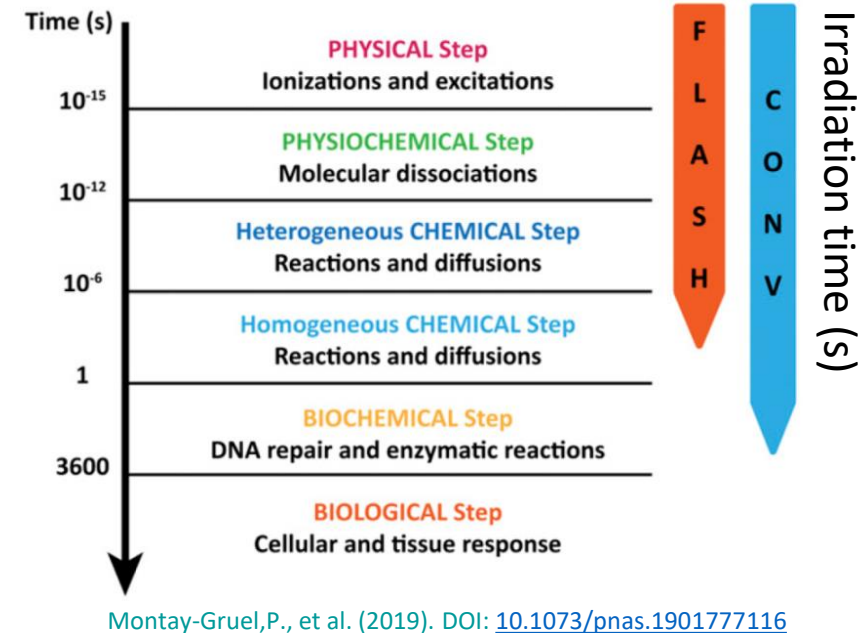


LET, O₂, ROS, biological effect, ...



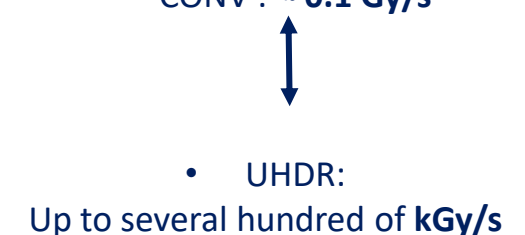
Multidisciplinary team around the ARRONAX cyclotron

Extracted particles	Maximal energy (MeV)	Range in water (cm)	LET at plateau entrance (keV/ μ m)
H ⁺	70	4,08	1
He ²⁺	70	0,34	11

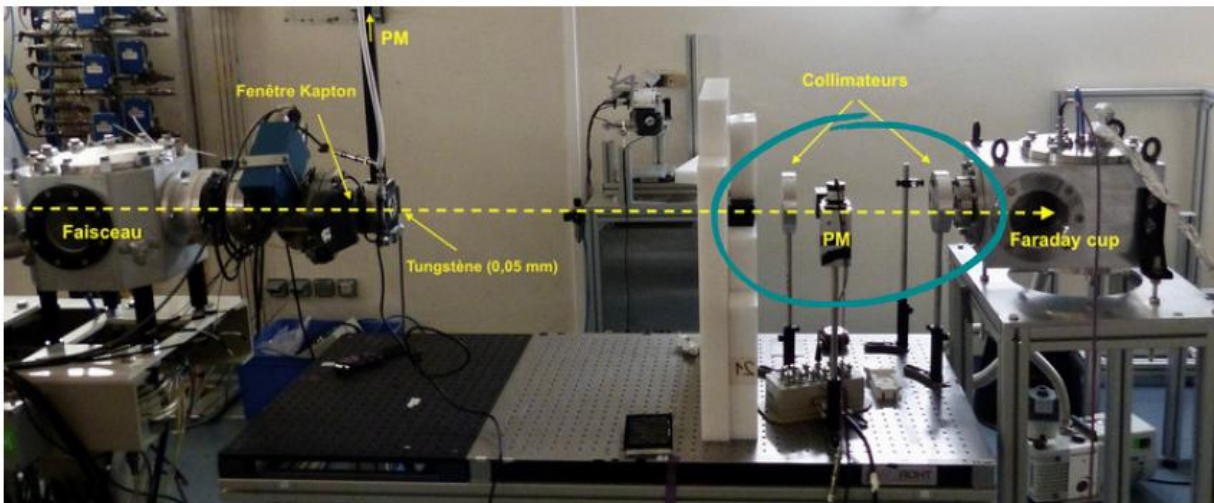
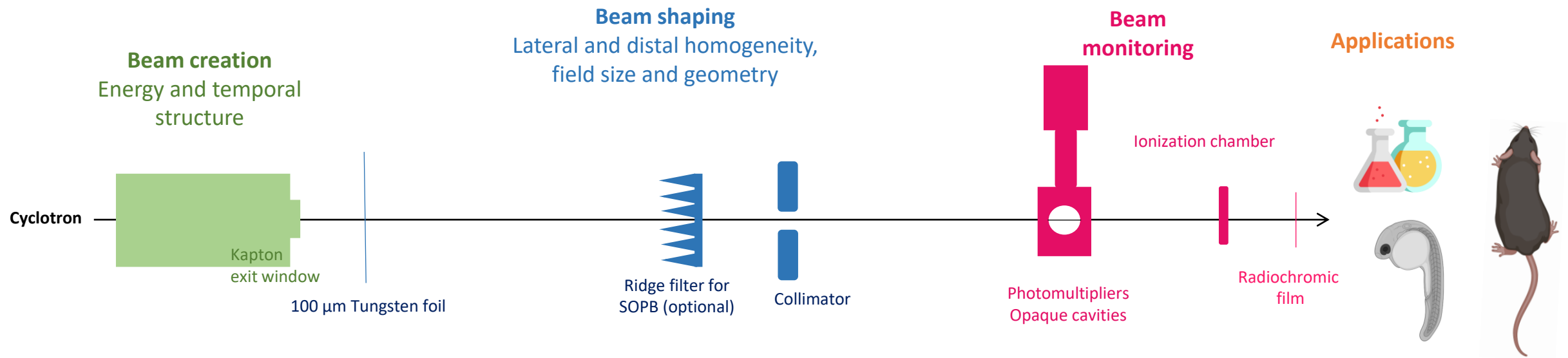


Dose rates

- CONV : ~ 0.1 Gy/s



Sample or animal
positioning and targeting



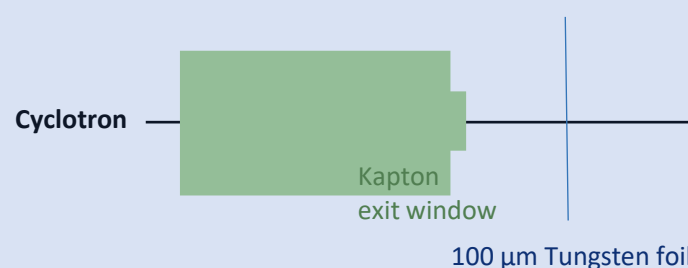
In vivo dosimetry

Innovative dosimetry
through radiation emitted by the
irradiated medium

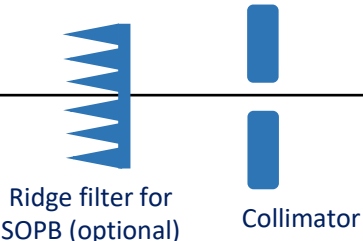
Sample or animal
positioning and targeting

Poirier et al. 2019

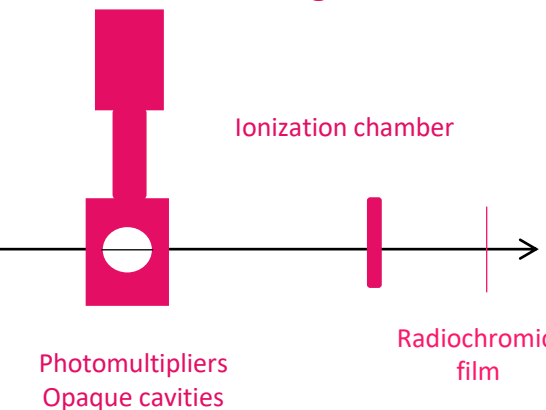
Beam creation
Energy and temporal
structure



Beam shaping
Lateral and distal homogeneity,
field size and geometry



Beam monitoring



Applications



Standard use

Pulsing Mode

Parameters "we play with"

Train time length

Repetition period

Intensity:

Average

Peak

Number of trains

.....2.....3.....n

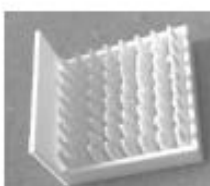
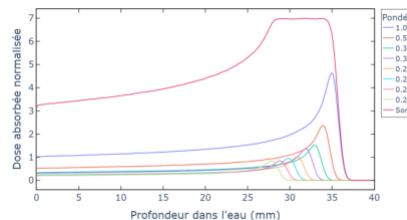
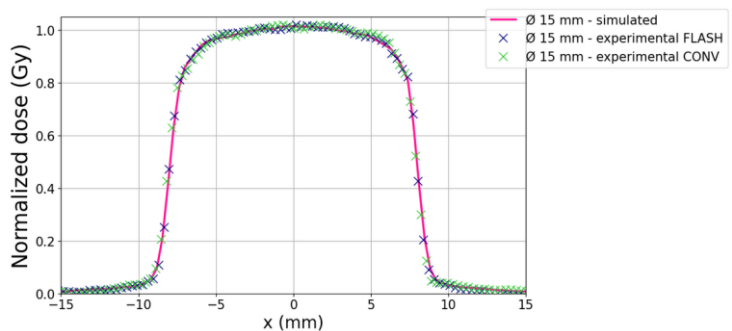
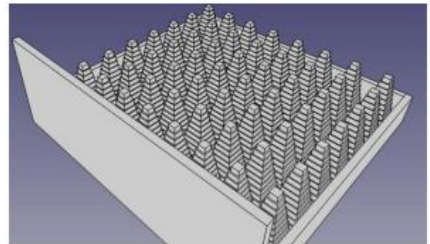
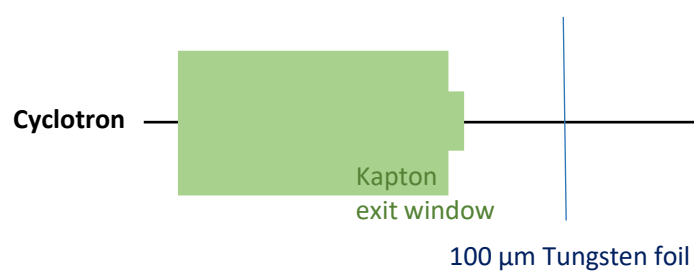


In vivo dosimetry

Innovative dosimetry
through radiation emitted by the
irradiated medium

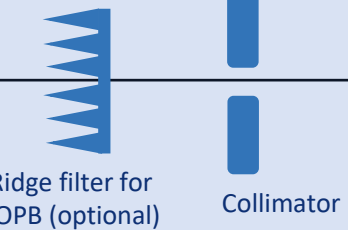
ARRONAX preclinical irradiation line

Beam creation
Energy and temporal
structure

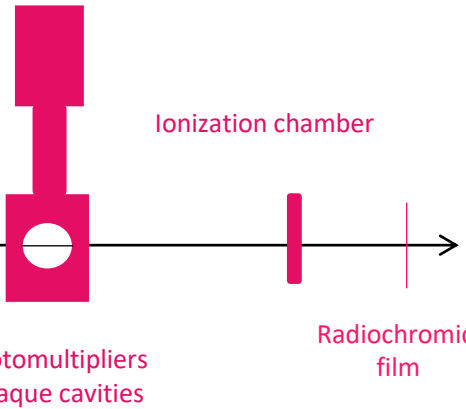


Bongrand et al. Cancers 2021
Evin et al. Phys. Med 2024

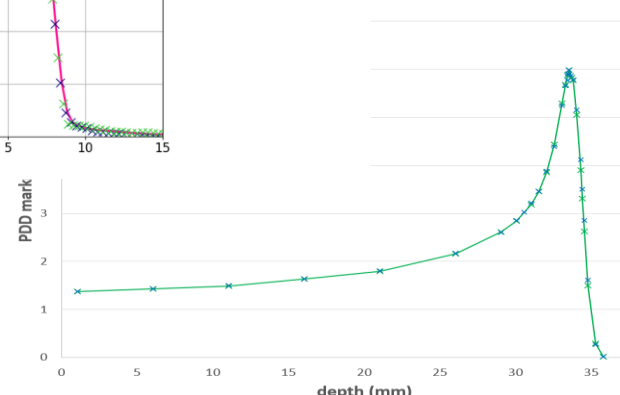
Beam shaping
Lateral and distal homogeneity,
field size and geometry



Beam
monitoring



Applications

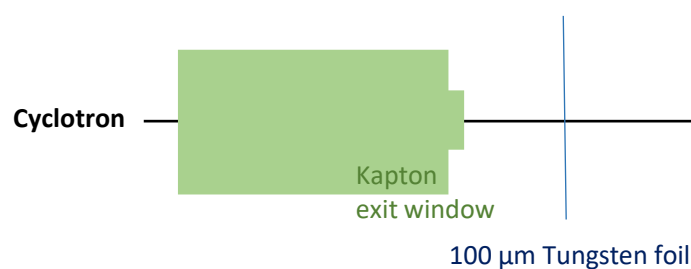


In vivo dosimetry

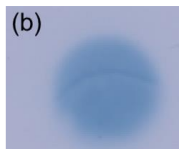
Innovative dosimetry
through radiation emitted by the
irradiated medium

ARRONAX preclinical irradiation line

Beam creation
Energy and temporal
structure

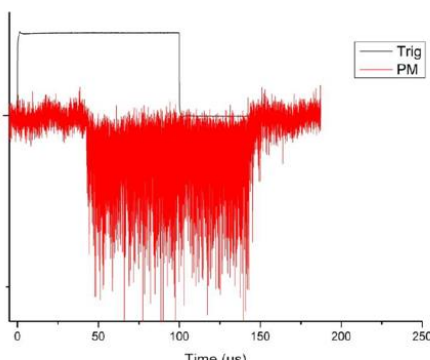
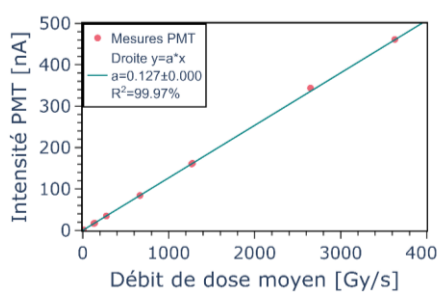


Débit de dose de référence (TRS398)
Markus Advanced

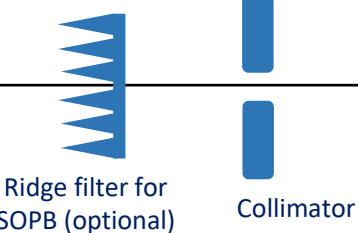


Etude de la sensibilité des films au
débit de dose (OC-1, EBT, EBTxD)

PM: Fluorescence du diazote de l'air

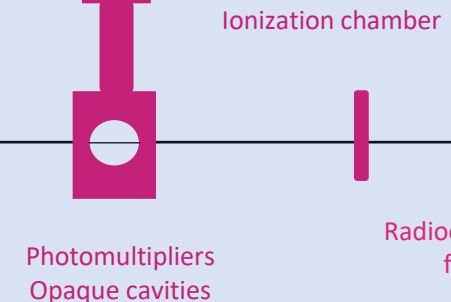


Beam shaping
Lateral and distal homogeneity,
field size and geometry



Mouchard et al. FRPT 2022
Villoing et al. Med. Phys. 2022

Beam
monitoring



Sample or animal
positioning and targeting

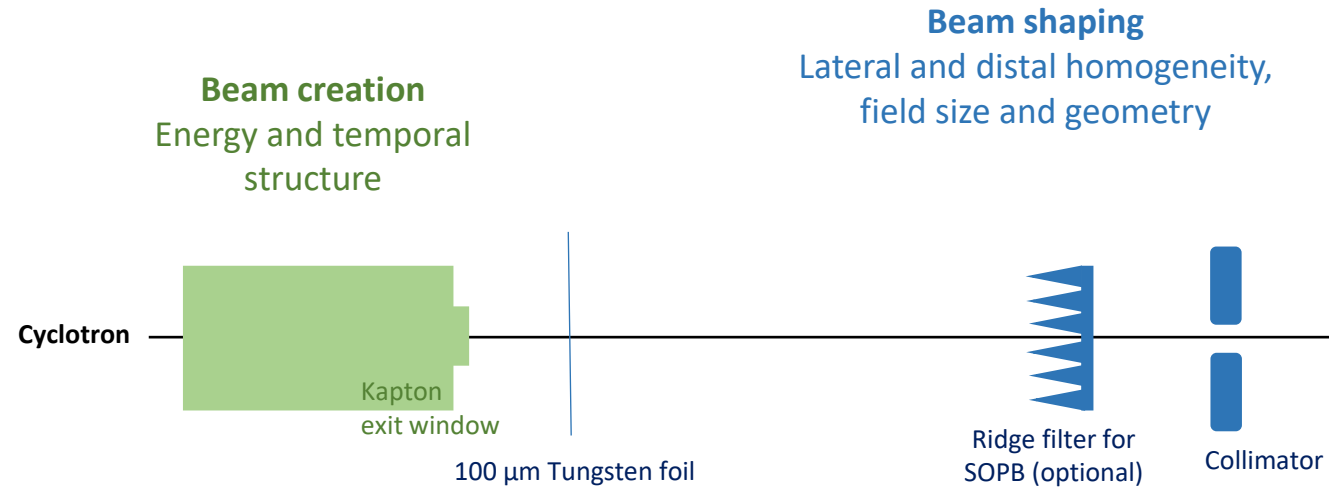
Applications



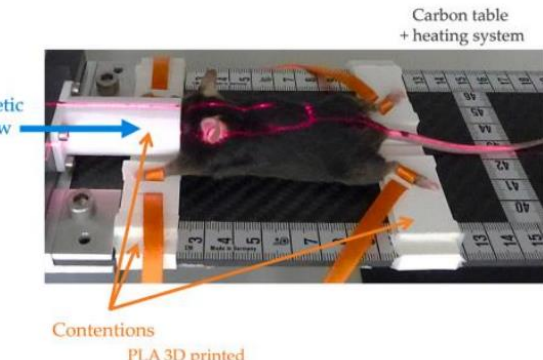
In vivo dosimetry



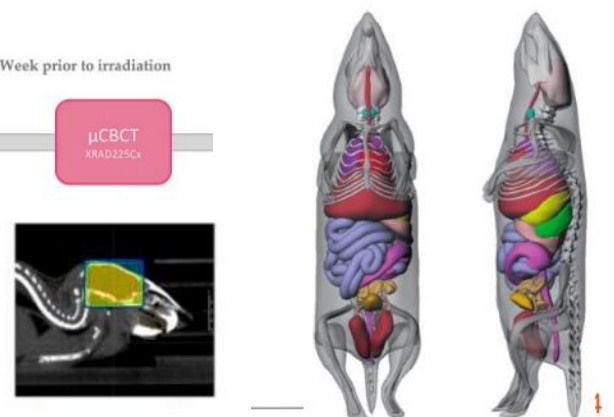
Innovative dosimetry
through radiation emitted by the
irradiated medium



Optimisation du ciblage des souris

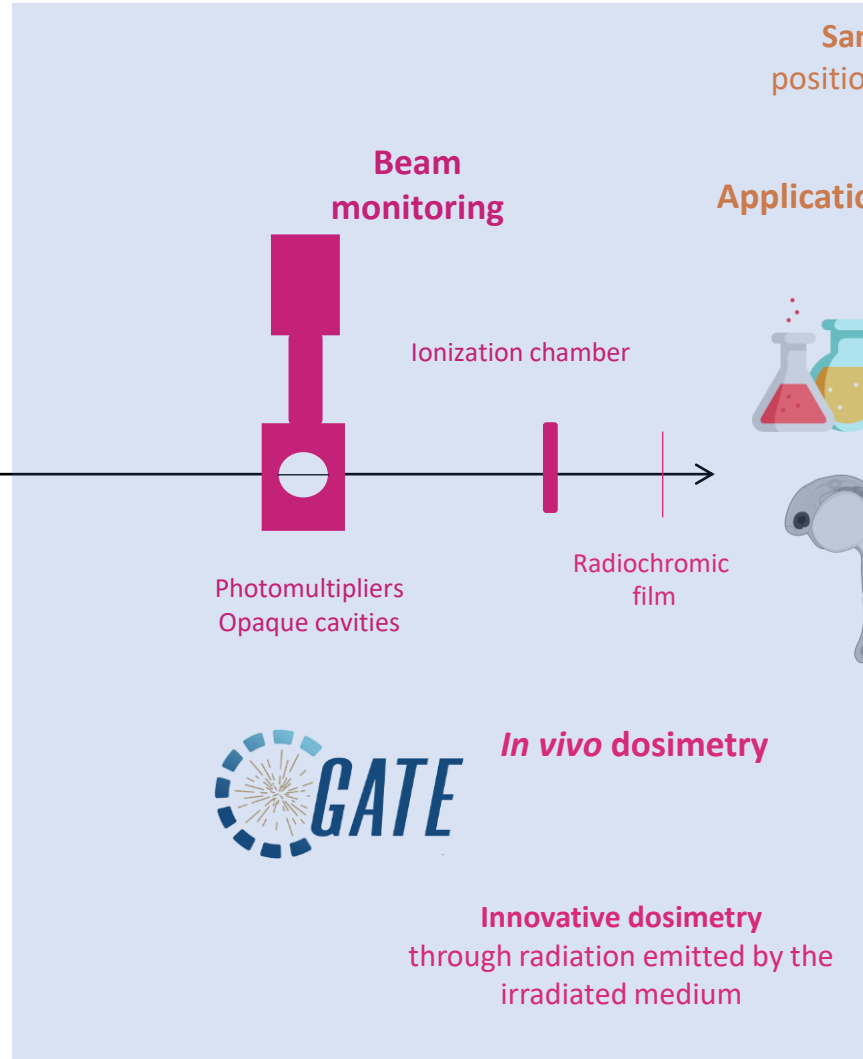
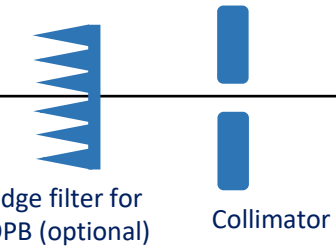


Impact de la respiration en Flash sur MOBY



Beam shaping

Lateral and distal homogeneity, field size and geometry



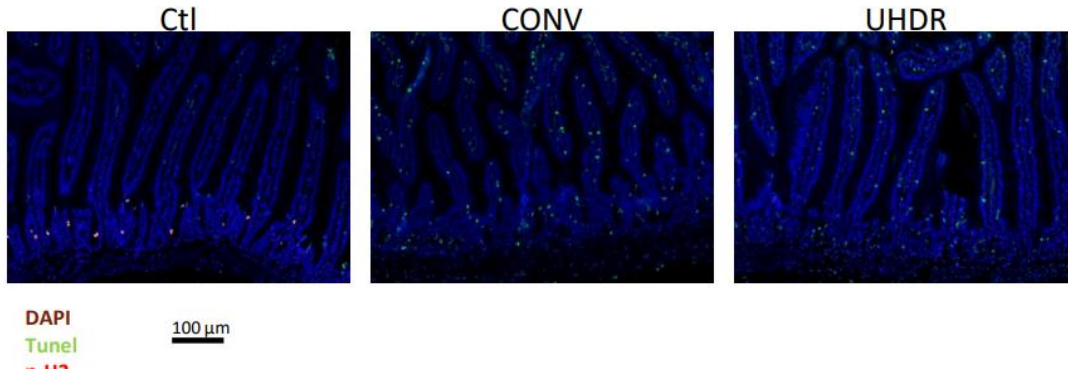
Evin et al. Phys. Med. 2024



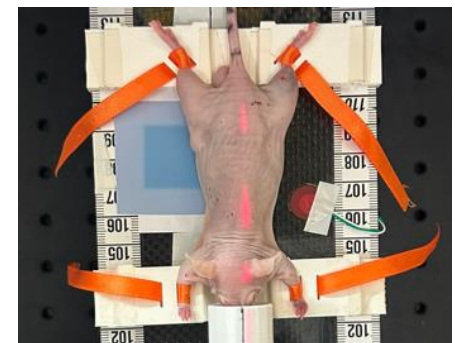
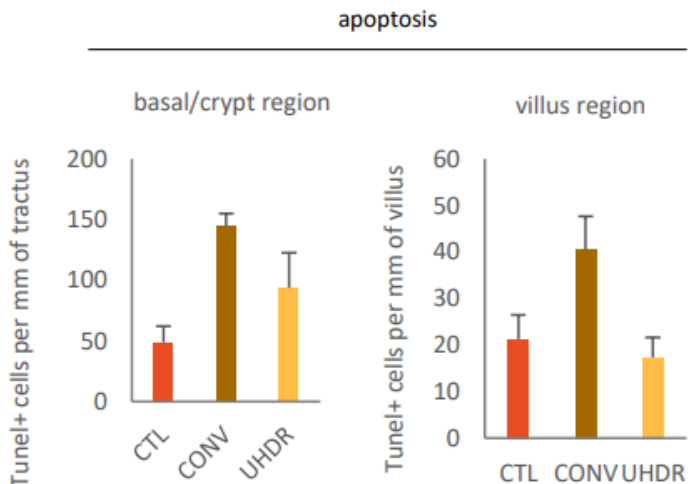
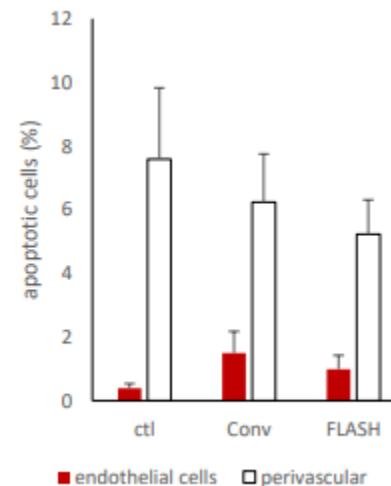
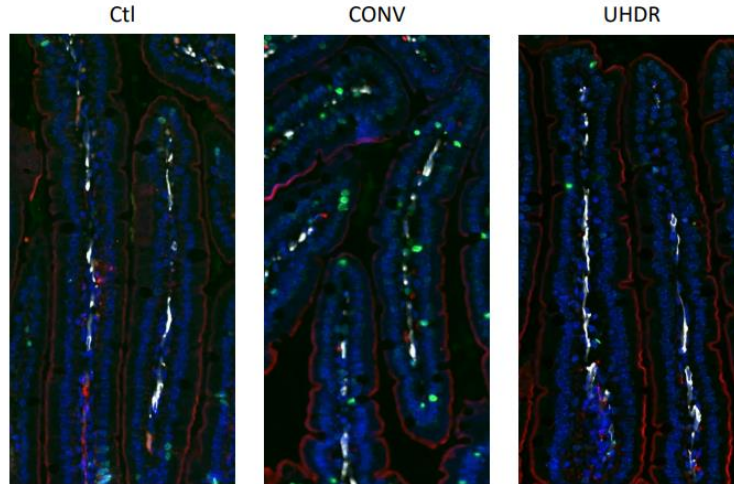
UHDR-PT protects from apoptosis in mouse jejunum

Manip préliminaire (2s/c): premières souris à ARRONAX (nov. 2023)

Intestin 15Gy
Protons 68MeV
(plateau)

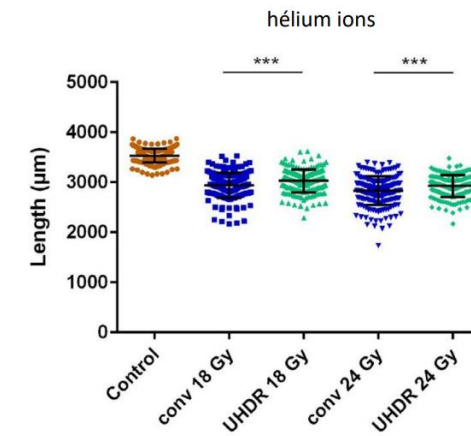
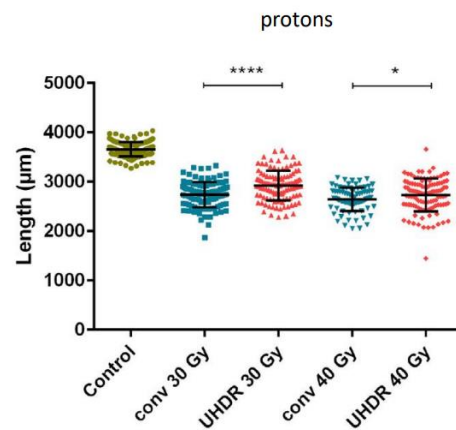
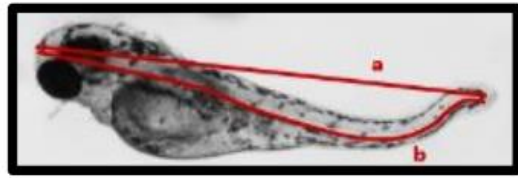


DAPI
Tunel
CD31
SMA



Nouvelle manip souris (10 s/c) (25 sept. 2024): impact du Flash sur le système vasculaire tumoral

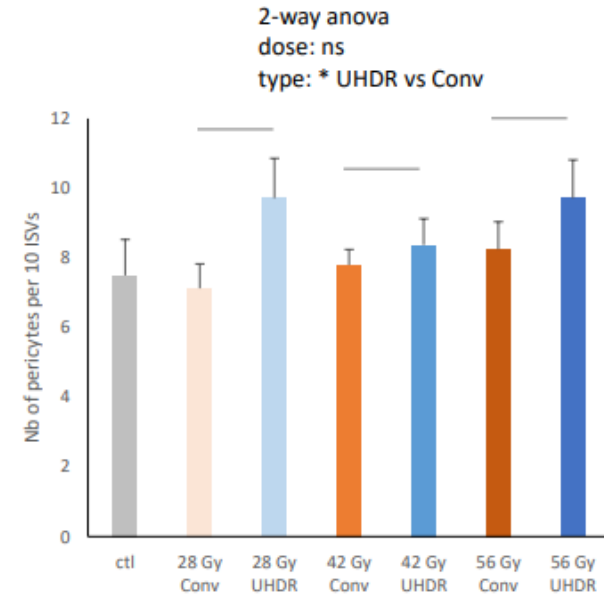
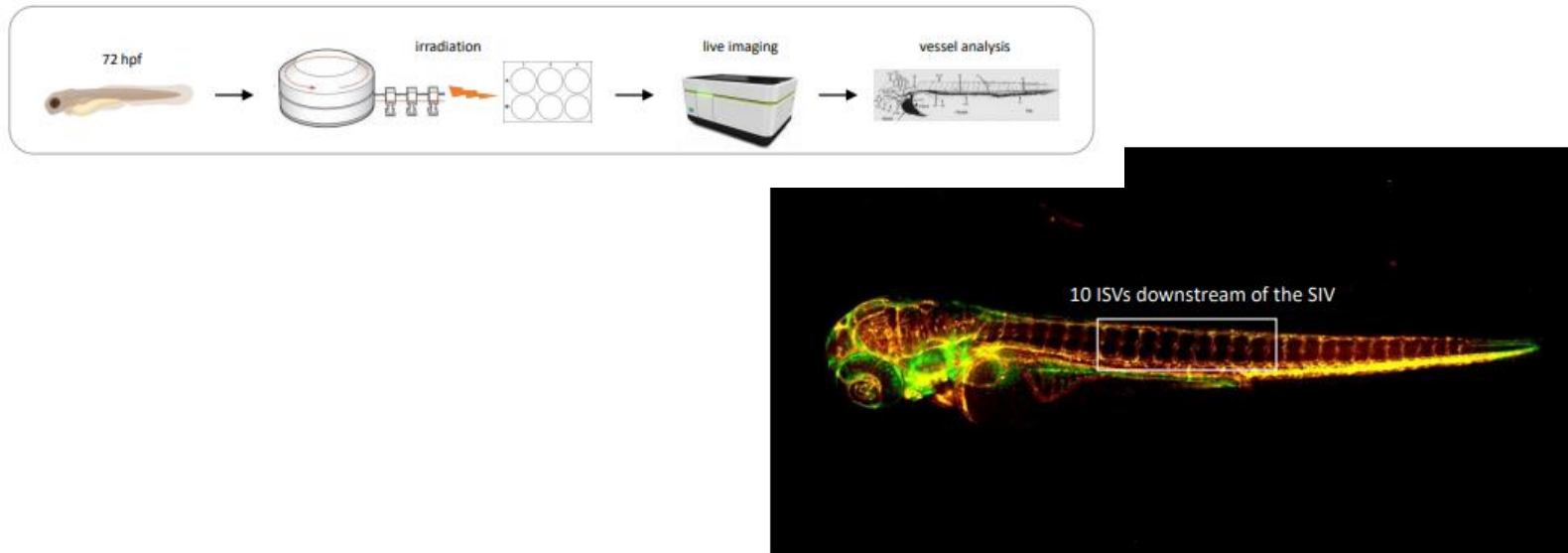
UHDR-PT and He²⁺ protect zebrafish development



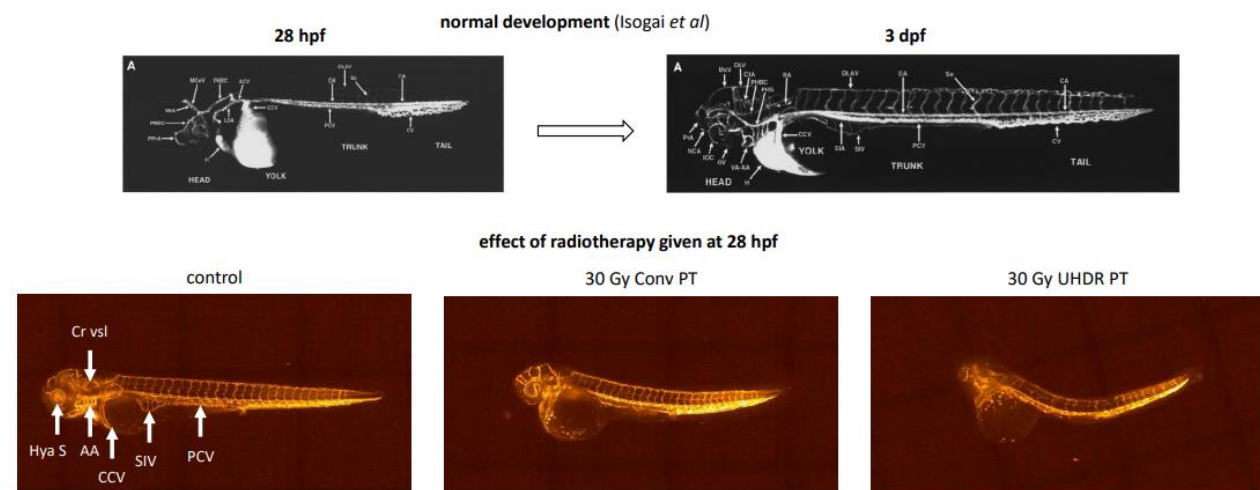
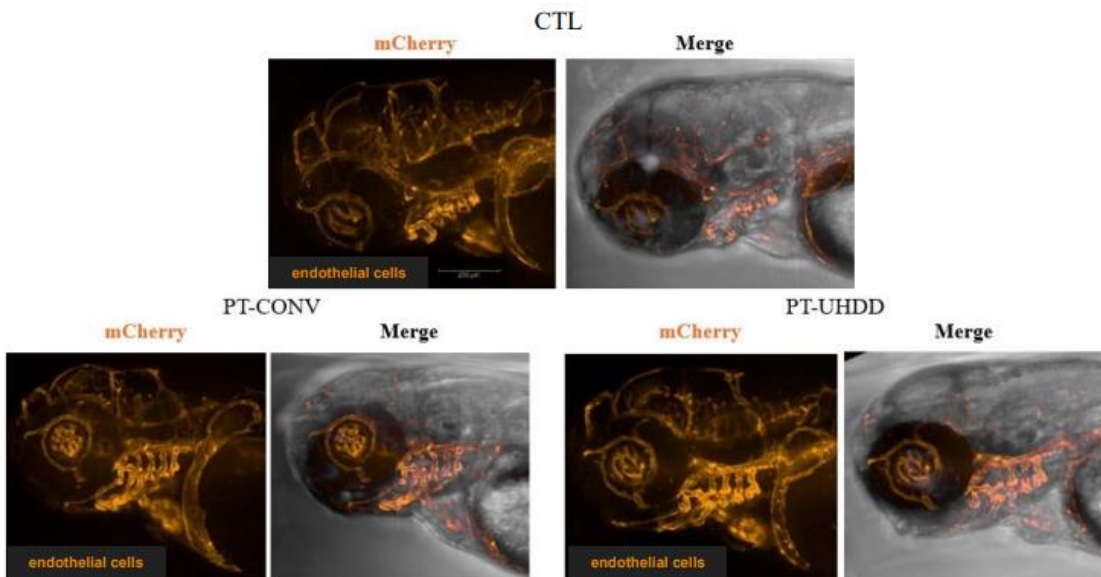
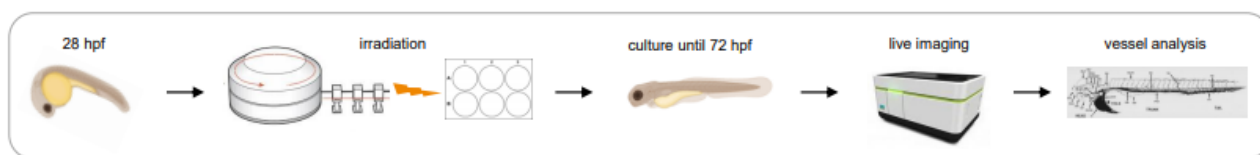
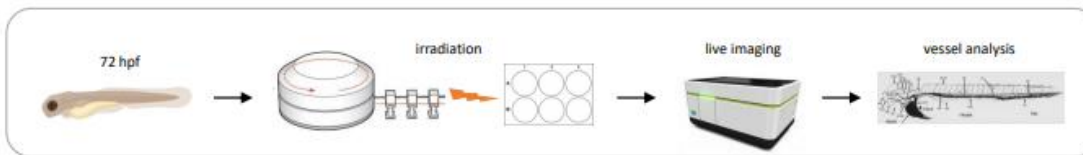
Saade et al. Adv Rad Onc 2022
Ganham et al. Radiother Oncol 2023

Vozenin et al. Clin Oncol 2019, Montay-Gruel et al. PNAS 2019, Pawelke et al. Radiother Oncol 2021, Karsch et al. Radiother Oncol, 2022, Horst et al. Radiother Oncol 2024

UHDR-PT effects 2-6h post IR



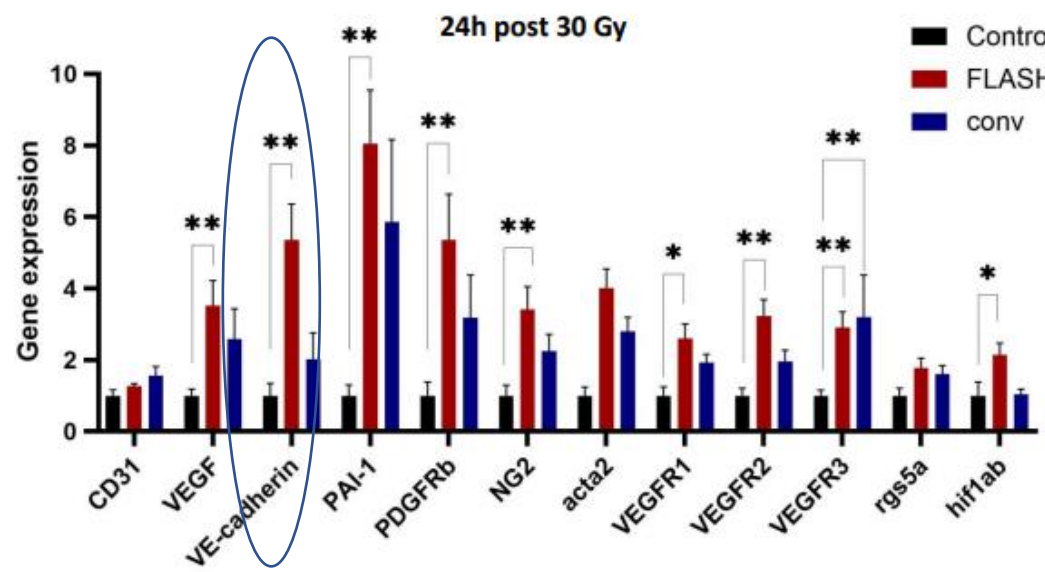
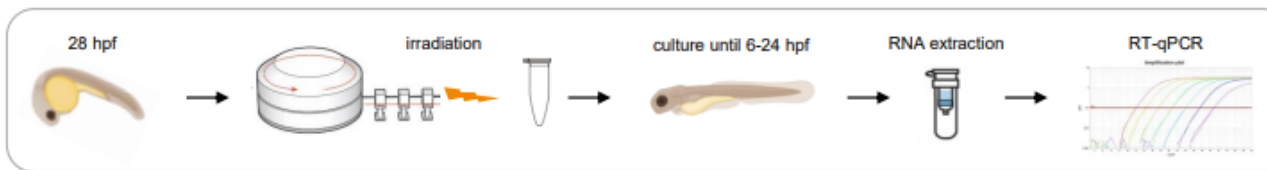
acute effect on blood vessels



- Vaisseaux déjà formés = radiorésistants
- Pas d'effet du débit

- Blocage de l'angiogenèse
- Pas d'effet du débit

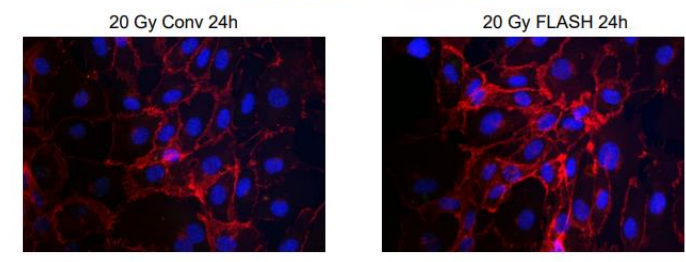
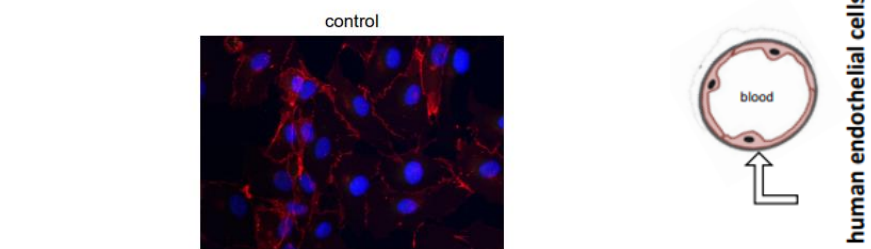
UHDR-PT induces vascular gene expression in 28 hpf zebrafish



La VE-cadherin forme la jonction intercellulaire endothéliale

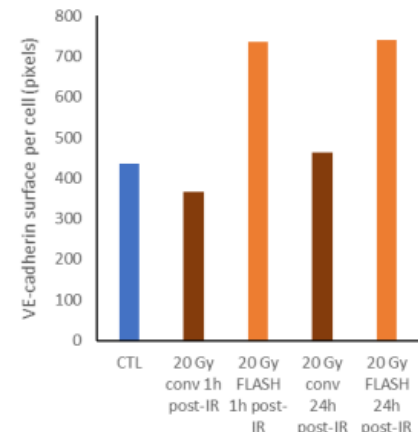
Unpublished data - do not copy

Effects of UHDR-PT on VE-cadherin *in vitro*

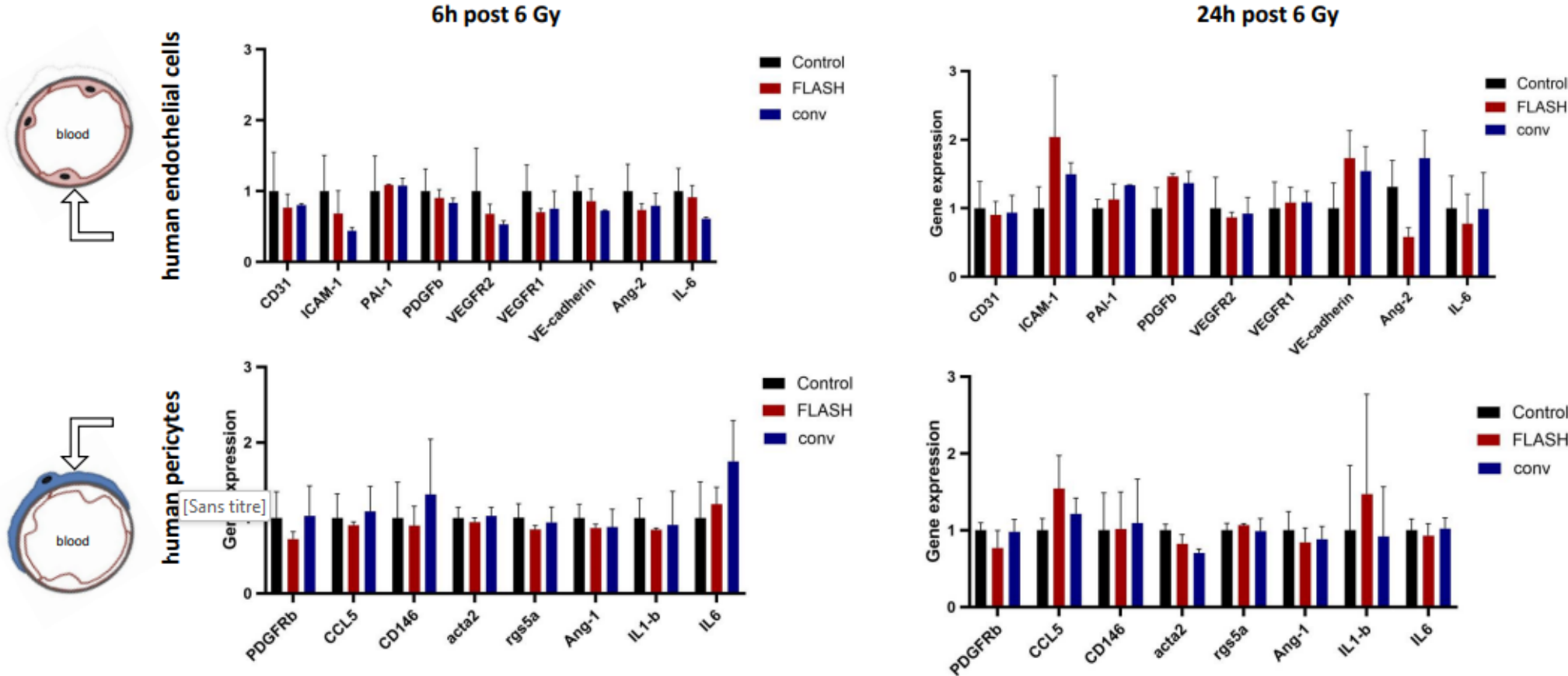


Unpublished data - do not copy

preliminary data (n=1)



Effects of UHDR-PT on vascular genes are not recapitulated *in vitro*

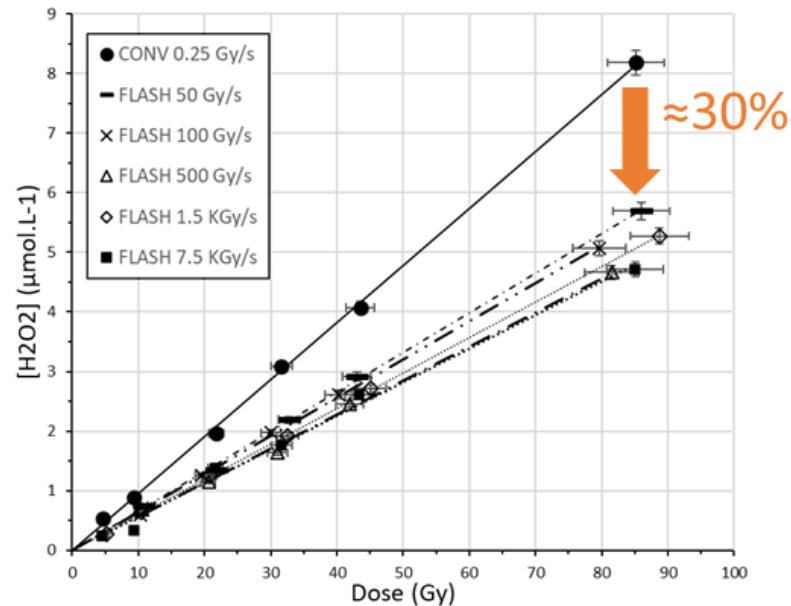


Unpublished data - do not copy

21

➤ Cellules en normoxie. Rôle O₂ ?

➤ Hypothèse des recombinaisons radicalaires différentes liées au débit de dose

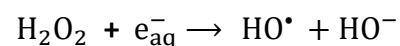


N_2O = piégeur de e_{aq}^- + absence d' O_2

→ Plus d'effet UHDR



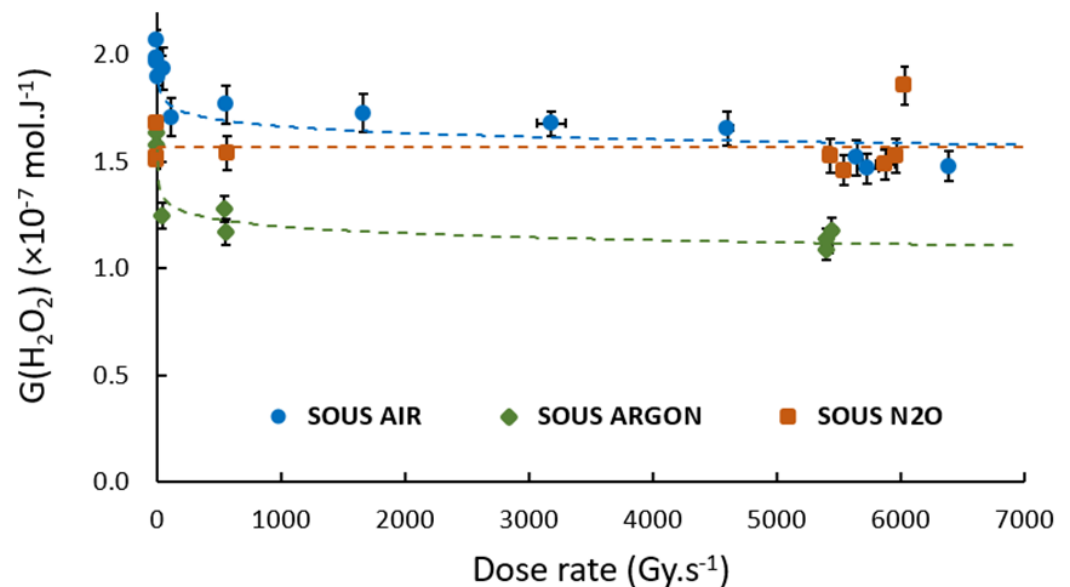
$$k = 3.0 \times 10^{10} \text{ L mol}^{-1} \text{ s}^{-1}$$



$$k = 1.1 \times 10^{10} \text{ L mol}^{-1} \text{ s}^{-1}$$

Blain G et al. Radiation Research, 2022

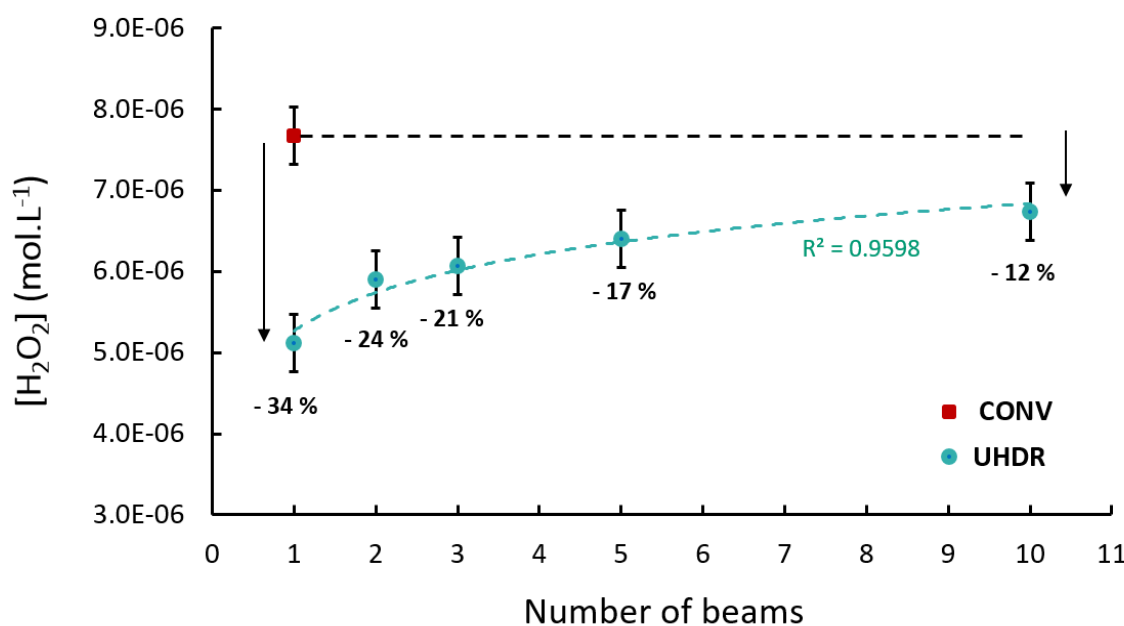
- Moins de H_2O_2 produit en UHDR Vs. CONV
- Confirmation de Montay-Gruel et al. PNAS 2019 (électrons 500Gy/s)



➤ Exploration de la structure temporelle des faisceaux

Etude multifaisceaux

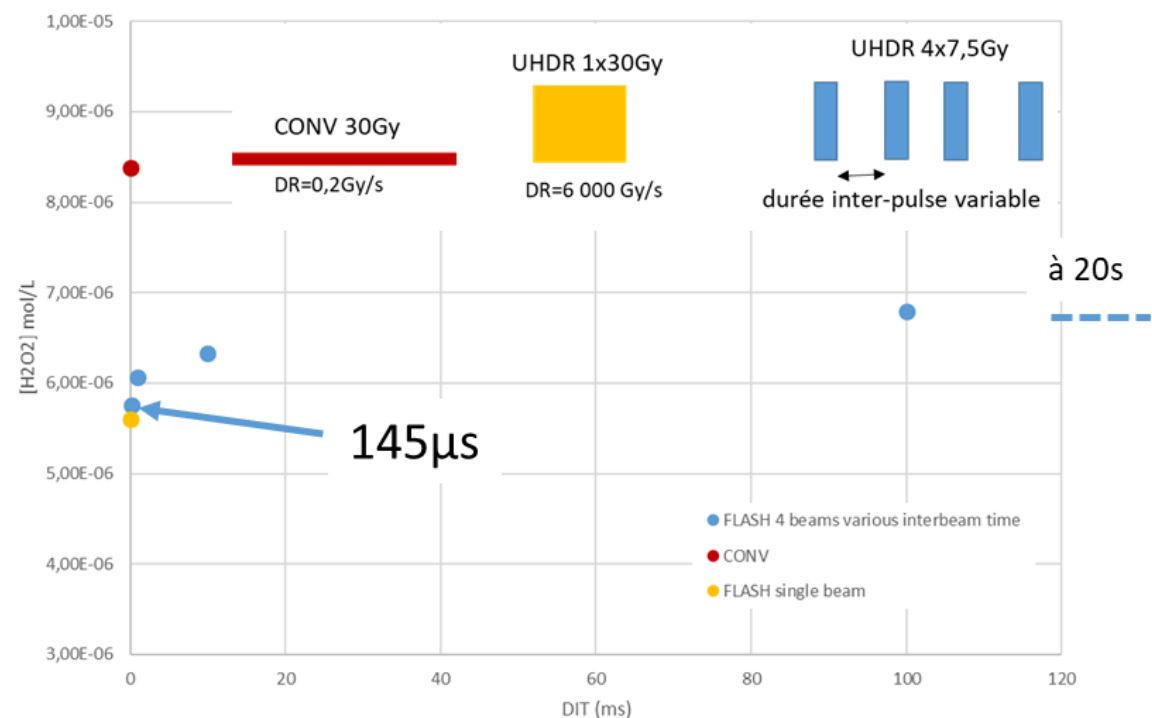
30Gy UHDR, 68MeV protons, 20s entre les faisceaux: 1x30Gy, 2x15Gy, 3x10Gy ...
10x3Gy



➤ impact du Flash ↗ nombre de faisceaux
dose par faisceau ↗

Evin M et al. ESTRO 2023

Variation de la durée inter-faisceaux

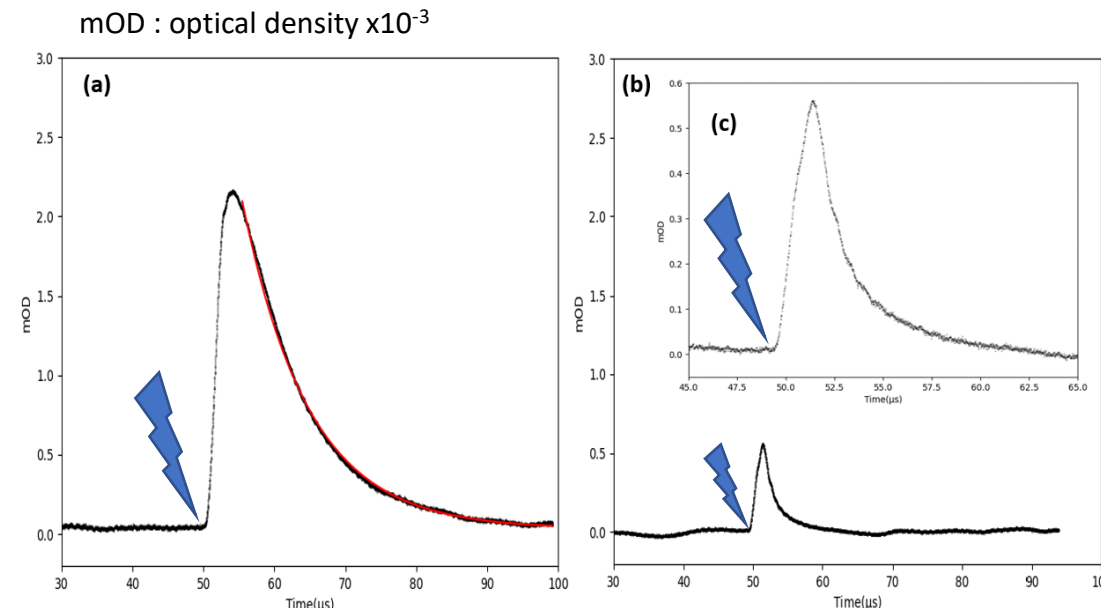


➤ Effet Flash retrouvé avec durée inter-faisceau faible

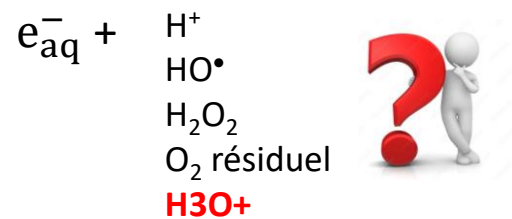
➤ Lien $\text{H}_2\text{O}_2 \leftrightarrow \text{e}^-_{\text{aq}} \leftrightarrow \text{O}_2$

Mesure de l' e^-_{aq} en direct sous le faisceau de protons → Thèse de Sarra Terfas (Subatech, G. Blain)

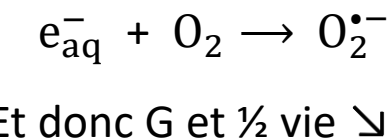
Protons 67.4 MeV
Débit = 240 kGy/s
Durée du pulse = 2 μ s
Dose = 0,48Gy/pulse

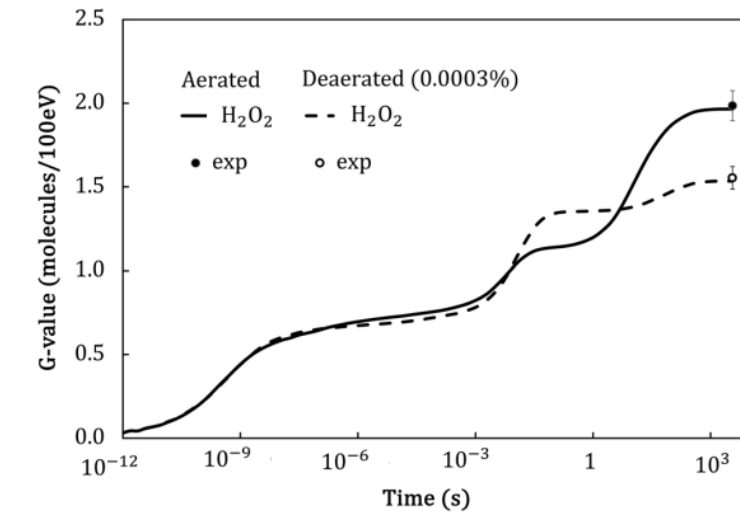
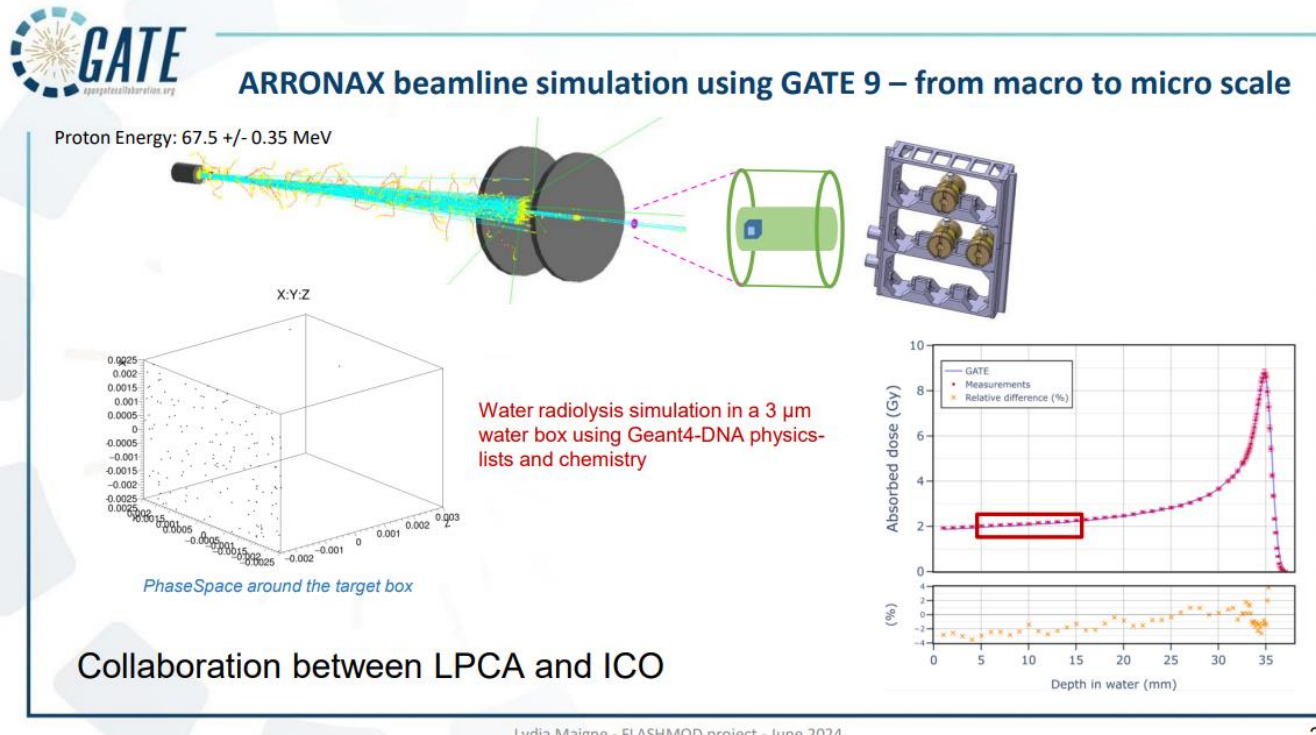


Sous argon :



Sous air :





From Fois et al. Med. Phys. 2024

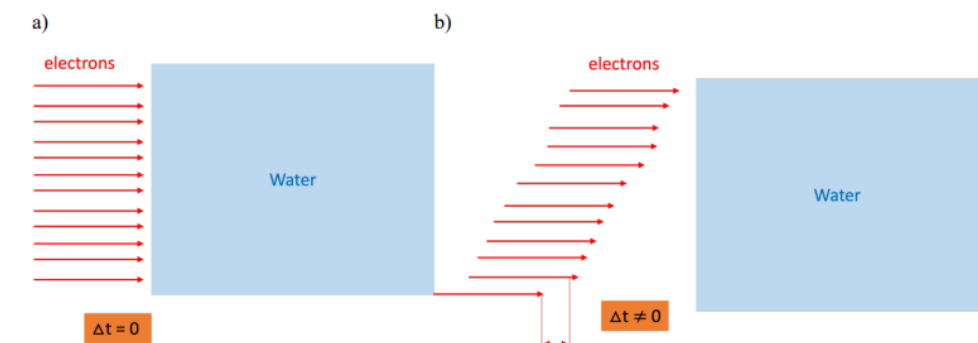


Figure 1: 1 MeV electron beam irradiation. Simulation volume: water cube (in blue). a): Infinite (= instantaneous) single-pulse irradiation: all incident electrons are shot simultaneously as a parallel beam onto the volume until the total absorbed dose is reached. b): « Time-structured » single-pulse irradiation. The sequence of irradiation can be changed by the user. At is the delay time between two successive electrons within a beam irradiation.

Conclusion et perspectives

- Physique

Environnement permettant les études à tous les débits en protons et ions hélium
Irradiations possibles dans le plateau, pic de Bragg, SOBP
Maitrise de la dose délivrée, du débit, de la durée des pulses, ...
modélisation GATE de la ligne → dosimétrie dans les cibles complexes



- Biologie

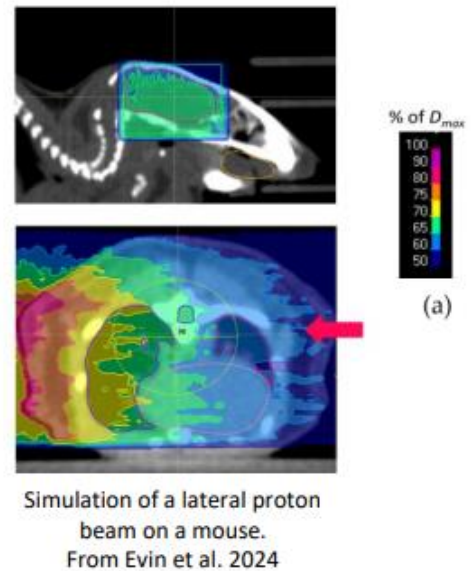
Effet Flash obtenu sur différents modèles *in vivo* (ZF, souris)
Effet vasculaire du Flash: péricytes (ZF), jonction intercellulaire endothéliale (ZF et *in vitro*)
Pas d'effet Flash sur les vaisseaux déjà formés et l'angiogenèse
Pas d'effet Flash sur l'activation des gènes vasculaire *in vitro*

- Chimie

Baisse de H_2O_2 dans l'eau en Flash
rôle de l' e^-_{aq} démontré
Impact de la dose par faisceau et de l'intervalle entre 2 faisceaux
→ Confirmation de la théorie de la recombinaison radicalaire

- Modélisation

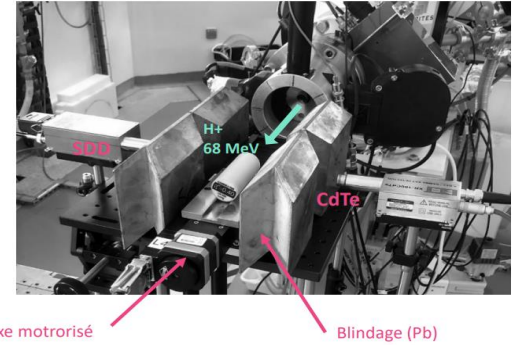
Comparaison modèle/expérimental en débit conventionnel pour différentes conditions (O_2 , pH)



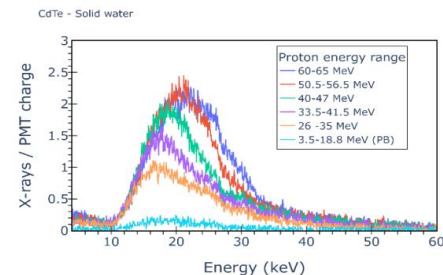
Conclusion et perspectives

- Développements dosimétriques

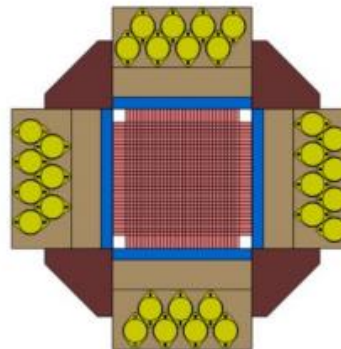
Dosimétrie in vivo par mesure du spectre d'émission Bremsstrahlung



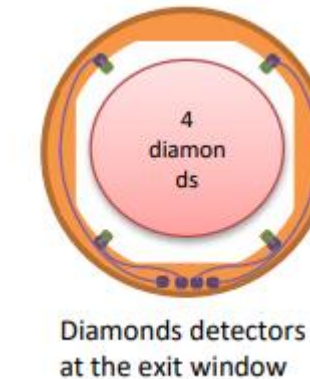
Evin et al. EXRS 2024



- PMT-profiler



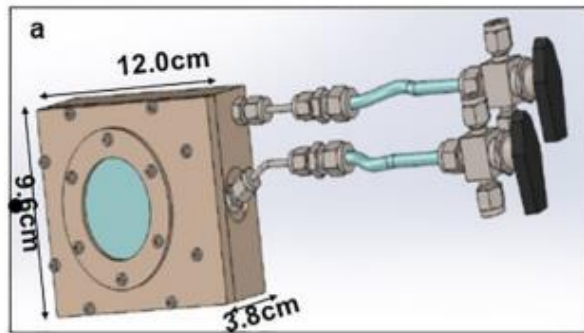
Diamonni
(Nicola André, Robin Molle)



PEPITES
(C. Thiebaux)



- Développement d'un dispositif hypoxique pour étude cellulaire



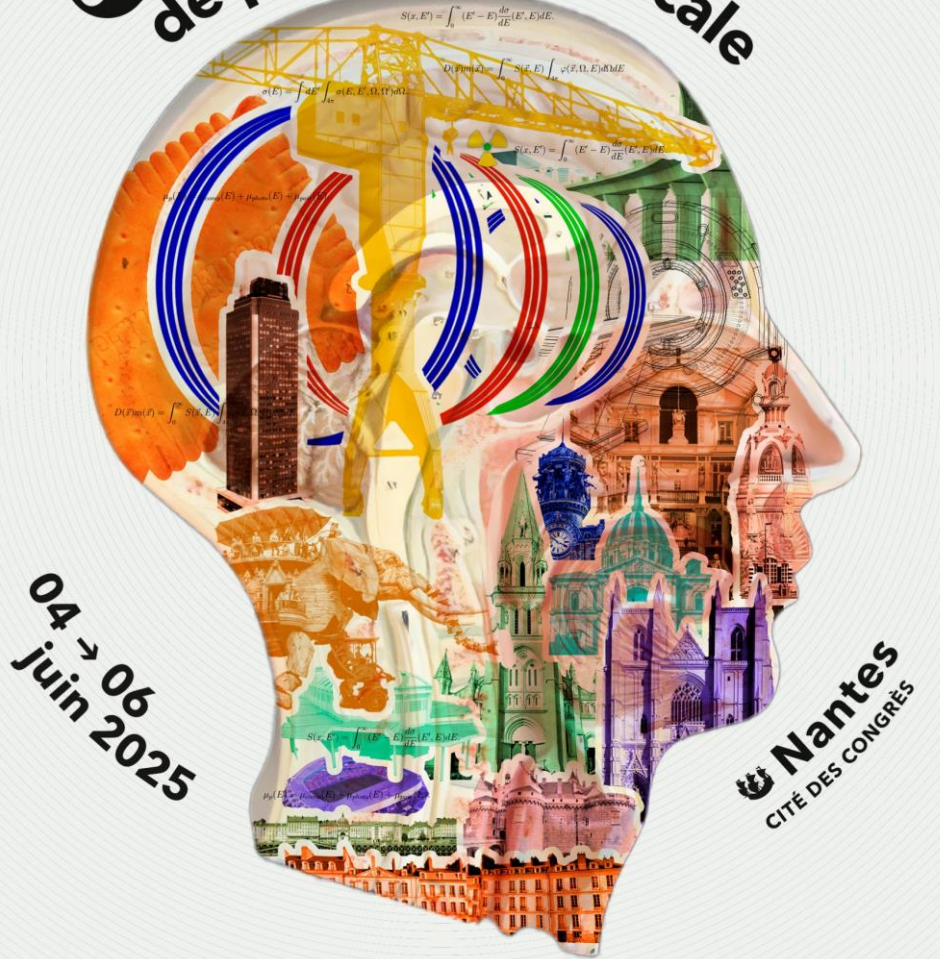
Chaudhary et al. Research Square 2021

- Etude du Flash à différents TEL (*Tinganelli et al. FRPT 2023*)
Collaboration avec le Ganil (Carbone) F. Chevalier
Utilisation du faisceau Hélium sur cellules en hypoxie
- Etude du remodelage vasculaire tumoral en Flash chez la souris
- Mesure d'autres espèces radiochimiques (O_2^- , ...)
- Mesure indirecte de l' e_{aq} (Collaboration avec Q. Raffy)
- Lien entre Chimie et Biologie
milieu différent de l'eau (Collaboration avec J. Seco)
 H_2O_2 dans les cellules (Collaboration avec P. Vidi)
Etude multifaisceau sur cellules en hypoxie
- Poursuite de la collaboration G4-DNA (L. Maigne et H. Tran)



- A Monte Carlo Determination of Dose and Range Uncertainties for Preclinical Studies with a Proton Beam. Bongrand *et al*, Cancers 2021
- Ultrahigh-Dose-Rate Proton Irradiation Elicits Reduced Toxicity in Zebrafish Embryos. Saade *et al*, Adv Rad Onc 2022
- Proton Irradiations at Ultra-High Dose Rate vs. Conventional Dose Rate: Strong Impact on Hydrogen Peroxide Yield. Blain G *et al*, Radiat Res 2022
- Technical note: Proton beam dosimetry at ultra-high dose rates (FLASH): Evaluation of GAFchromic™ (EBT3, EBT-XD) and OrthoChromic (OC-1) film performances. Villoing D *et al*, Med Phys 2022
- Methodology for small animals targeted irradiations at conventional and ultra-high dose rates 65 MeV proton beam. Evin M *et al*, Phys Med 2024
- Monte Carlo simulations of microdosimetry and radiolytic species production at long time post proton irradiation using GATE and Geant4-DNA. Fois *et al*, Med Phys 2024
- First evidence of in vivo effect of FLASH radiotherapy with helium ions in zebrafish embryos. Ghannam et al, radiotherapy and Oncology 2023
- Validation of the proton FLASH effect in a zebrafish model: a mechanistic study. Bogaerts et al, under review

63^e journées scientifiques de physique médicale



- Session recherche commune avec le GdR Mi2b
- Session dosimétristes
- Session « Ma thèse en 180 secondes »
- Session Poster-discussion
- Labérisation REEVE



First « official » FLASH-RT paper in 2014

RESEARCH ARTICLE | RADIATION TOXICITY

[f](#) [t](#) [in](#) [gplus](#) [pinterest](#) [envelope](#)

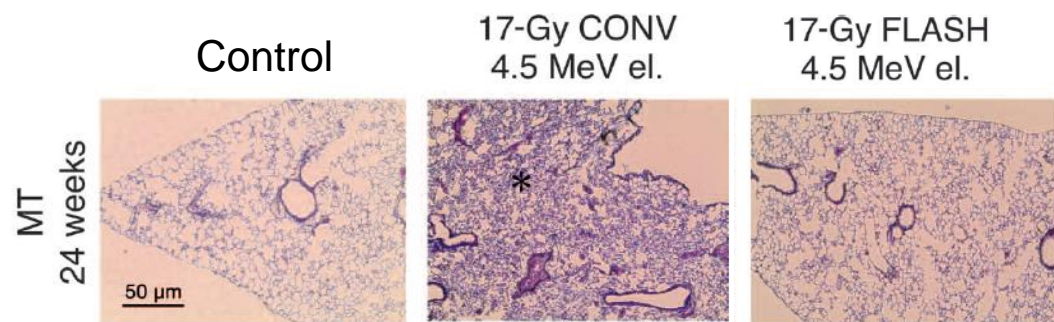
Ultrahigh dose-rate FLASH irradiation increases the differential response between normal and tumor tissue in mice

VINCENT FAVAUDON, LAURA CAPLIER, VIRGINIE MONCEAU, FRÉDÉRIC POUZOULET, MANO SAYARATH, CHARLES FOUILLADE, MARIE-FRANCE POUPON, ISABEL BRITO, PHILIPPE HUPÉ, JEAN BOURHIS, JANET HALL, JEAN-JACQUES FONTAINE, AND MARIE-CATHERINE VOZENIN [fewer](#) [Authors Info & Affiliations](#)

SCIENCE TRANSLATIONAL MEDICINE • 16 Jul 2014 • Vol 6, Issue 245 • p. 245ra93 • DOI: 10.1126/scitranslmed.3008973

 FLASH effect observed on mice

- Lung protection from radiation-induced fibrosis
- No loss of anti-tumor efficiency
- 4.5 MeV electrons



First « official » FLASH-RT paper in 2014

RESEARCH ARTICLE | RADIATION TOXICITY

[f](#) [t](#) [in](#) [d](#) [g](#) [e](#) [m](#)

Ultrahigh dose-rate FLASH irradiation increases the differential response between normal and tumor tissue in mice

VINCENT FAVAUDON, LAURA CAPLIER, VIRGINIE MONCEAU, FRÉDÉRIC POUZOULET, MANO SAYARATH, CHARLES FOUILLADE, MARIE-FRANCE POUPEON, ISABEL BRITO, PHILIPPE HUPÉ, JEAN BOURHIS, JANET HALL, JEAN-JACQUES FONTAINE, AND MARIE-CATHERINE VOZENIN [fewer](#) [Authors Info & Affiliations](#)

SCIENCE TRANSLATIONAL MEDICINE • 16 Jul 2014 • Vol 6, Issue 245 • p. 245ra93 • DOI: 10.1126/scitranslmed.3008973

 FLASH effect observed on mice

- Lung protection from radiation-induced fibrosis
- No loss of anti-tumor efficiency
- 4.5 MeV electrons

Increase in
therapeutic index

